

Рис. 1. Спектры ^1H -ЯМР соединения (I) при 45 (а), 35 (б) и 25°C (в). Спектры записаны с предварительным насыщением сигнала воды.

Общая методология проведения подобных исследований, включая обзор исследований, посвященных установлению пространственного строения олигонуклеотидных комплексов с ковалентно присоединенными к олигонуклеотидам разнообразными остатками, описана в работах [1, 11 - 14], что позволяет нам сразу перейти к изложению полученных в ходе работы результатов.

Исследование зависимости спектров ^1H -ЯМР от температуры. На первом этапе были изучены изменения в спектрах ^1H -ЯМР в диапазоне температур 25 - 50°C соединений (I) и (II) и (в качестве контроля) мононуклеотидного 3'-производного эстрона (III) в водном растворе при физиологических условиях (ионная сила 0.1 М, рН 7.0). При этом в спектрах соединений (II) и (III) существенных изменений, превышающих обычные температурные эффекты, практически не обнаружено, за исключением слабого уширения сигналов стероида на 1 - 3 Гц при понижении температуры в случае соединения (II).

Принципиально отличная от этого картина наблюдается для соединения (I) (рис. 1). Так, по сравнению с контрольным соединением (III) сигналы эстрона в соединении (I) (области 0.5 - 3.0 и 6.5 - 7.5 м. д.) при 25°C уширены на 7 - 20 Гц, а метильной группы - даже на 40 Гц. Также наблюдается смещение ряда сигналов в сильное поле, достигающее величины около 0.2 м. д. для метильной группы. Кроме того, в соединении (I) по сравнению с соединением (II) значительно уширяются (на 5 - 10 Гц) сигналы ароматических прото-

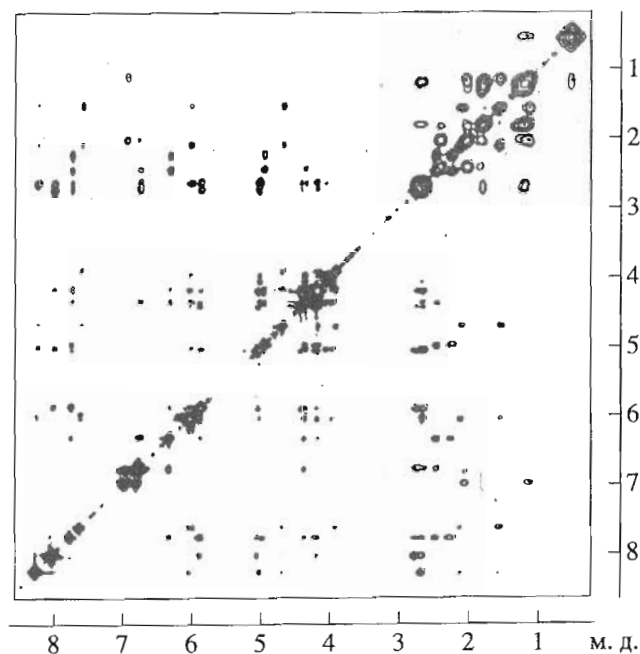


Рис. 2. Спектр NOESY ($\tau_m = 0.4$ с) соединения (I) при 25°C.

нов H6/H8 (область 7.5 - 8.5 м. д.) нуклеотидных оснований, кроме протонов остатка C^1 . Указанное поведение сигналов в спектре ^1H -ЯМР соединения (I) свидетельствует об ограничении подвижности эстрона в растворе вследствие, вероятно, его существенного взаимодействия с олигонуклеотидной цепью.

Отнесение сигналов необмениваемых протонов олигонуклеотида в двумерном спектре NOESY соединения (I) (рис. 2) проводили аналогично описанному в работах [11 - 13] по методике последовательного отнесения сигналов протонов для правозакрученных форм ДНК [1, 15 - 18], используя путь $(\text{H}2'\text{a}/\text{H}2'\text{b})_i - (\text{H}6/\text{H}8)_i - (\text{H}2'\text{a}/\text{H}2'\text{b})_{i-1}$ (рис. 3). Для отнесения сигналов протонов дезоксирибозы использовали также COSY-спектры. Данные представлены в табл. 1, там же приведены значения химических сдвигов ^{31}P , полученные с помощью анализа спектров ^{31}P -ЯМР с селективным подавлением протонов.

Для отнесения сигналов протонов эстрона в соединениях (I) - (III) помимо NOESY- и COSY-спектров использовали двумерную спектроскопию ^{13}C , ^1H -корреляций химических сдвигов, ибо в ряде случаев отнесение только на основании спектров ^1H -ЯМР стероида затруднено из-за перекрытия сигналов.

Химические сдвиги сигналов в спектрах ^{13}C -ЯМР эстрона соединений (I) - (III) различаются несущественно (менее чем на 0.5 м. д.), что позволяет легко провести их отнесение с помощью

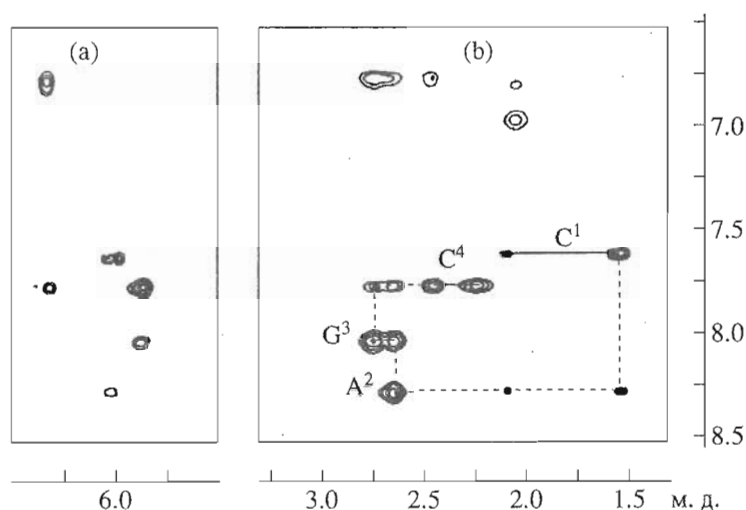


Рис. 3. Фрагменты спектра NOESY, представленного на рис. 2, содержащие области резонанса протонов H6/H8–H1'/H5 и H5/H8–H2'a/H2'b. Сплошными линиями соединены кросс-пики H6/H8–H2'a/H2'b для протонов одного нуклеотида, штриховой линией показан путь отнесения сигналов (H2'a/H2'b)_i – (H6/H8)_i – (H2'a/H2'b)_{i-1} для олигонуклеотида (i – номер нуклеотида). Символами (а) и (б) отмечены кросс-пики между H4(EsS)–H1'(C⁴) и H4(EsS)–H2'b(C⁴) соответственно.

литературных данных [19]. Использование результатов двумерных ¹³C, ¹H-корреляционных спектров ЯМР позволяет определить химические сдвиги сигналов всех протонов эстронов (рис. 4 и табл. 2). Отнесение α- и β-протонов H6, H7, H12, H15 и H16 выполнено на основе ROESY-эксперимента для соединения (III) и подтверждено анализом спектров гомоядерного двойного резонанса ¹H-ЯМР.

В результате в ROESY-спектре для соединения (III) обнаружены следующие кросс-пики: CH₃–H8, H11β, H12β, H15β и H16β; H8 – H6β, H7β и CH₃; H9 – H11α, H12α и H14, а также H14 – H9 и H15α.

Необходимость использования в случае соединения (III) ROESY-эксперимента вместо NOESY обусловлена практически нулевой величиной ядерного эффекта Оверхаузера (время τ_c близко к величине (5/4)^{1/2}ω⁻¹, равной в нашем случае 0.44 нс) согласно соотношениям (1) и (2) [17, 20]:

$$\sigma_{ij}^{\text{NOE}} = A\tau_c r_{ij}^{-6} (6/(1 + 4\omega^2\tau_c^2) - 1), \quad (1)$$

$$\sigma_{ij}^{\text{ROE}} = A\tau_c r_{ij}^{-6} (3/(1 + \omega^2\tau_c^2) + 2), \quad (2)$$

где σ_{ij} – скорость кросс-релаксации для протонов i и j (с⁻¹), τ_c – время корреляции, r_{ij} – расстояние

Таблица 1. Химические сдвиги сигналов ¹H и ³¹P для нуклеотидной части соединений (I)–(III) при 25°C (м. д.)

Нуклеотид	H6/H8	H5/H2	H1'	H2'a	H2'b	H3'	H4'	H5'a/H5'b	³¹ P*
Соединение (I)									
C ¹	7.60	5.96	6.02	1.52	2.09	4.67	4.16	3.90	1.99
A ²	8.25	8.04	6.01	2.63	2.63	5.00	4.33	3.95/4.05	-0.59
G ³	8.01	–	5.87	2.74	2.63	5.02	4.40	4.17	-0.60
C ⁴	7.75	5.85	6.31	2.22	2.43	4.95	4.35	4.17	-0.27
Соединение (II)									
C ¹	7.32	5.59	6.02	1.61	2.22	4.72	4.21	4.08	-4.07
A ²	8.25	8.06	6.08	2.62	2.69	4.97	4.36	3.96/4.07	-0.63
G ³	7.97	–	6.01	2.74	2.67	5.02	4.42	4.21	-0.64
C ⁴	7.72	5.81	6.26	2.25	2.36	4.56	4.15	4.12/4.23	-0.32
Соединение (III)									
C	7.94	6.10	6.30	2.20	2.30	4.94	4.32	3.99/4.03	2.24

* Представлены значения для 5'-фосфатных групп в соответствующих нуклеотидах; для 3'-фосфатных групп нуклеотида C⁴ в соединениях (I) и (III) значения равны -5.05 и -4.72 м. д. соответственно.

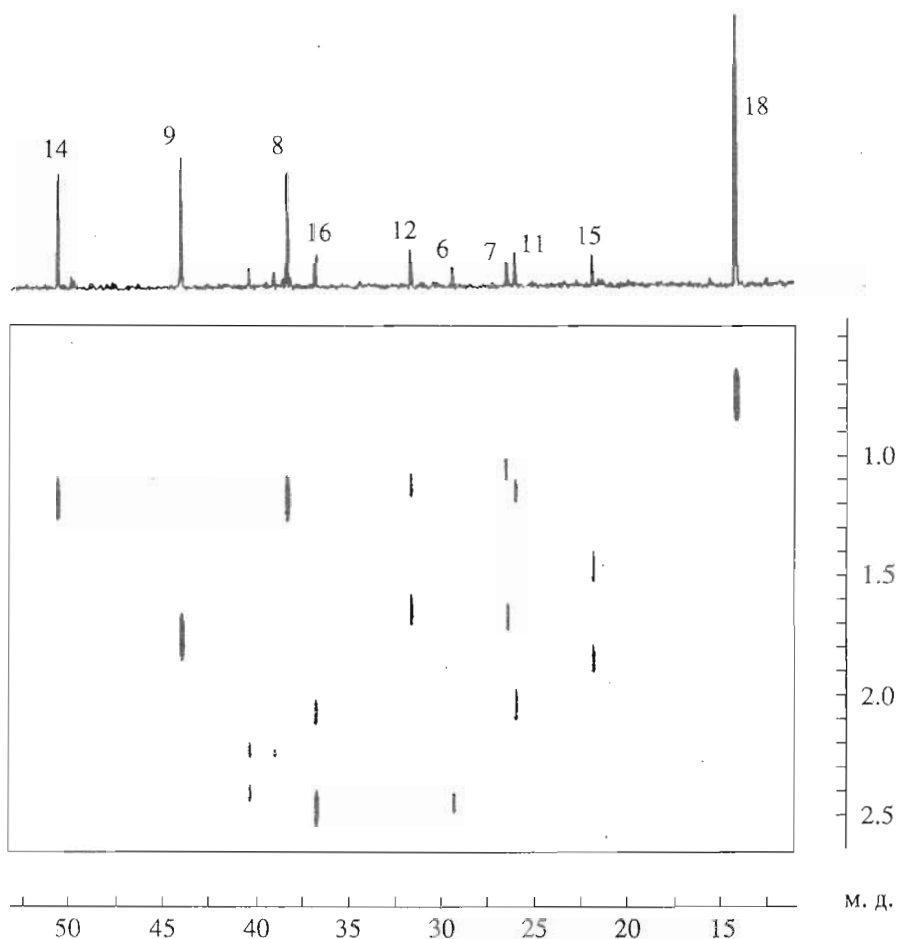


Рис. 4. Фрагмент двумерного ^{13}C , ^1H -корреляционного спектра для соединения (II) при 25°C в области резонанса алифатических атомов эстрона. Цифры на проекции спектра на ось химических сдвигов ^{13}C соответствуют нумерации атомов в эстроне.

между протонами, ω – рабочая частота спектрометра (рад/с), A – коэффициент, равный 5.70×10^{-50} (M^6/c^2).

Определение конформации дезоксирибозы. Конформационные состояния углеводных циклов изучаемых соединений можно определить с помощью констант спин-спиновой взаимодействия протонов дезоксирибозы, измеряемых в фазочувствительных спектрах COSY [1, 11 - 15]. Полученные значения констант $J_{\text{H-H}}$ (табл. 3) убедительно свидетельствуют о преимущественном *S*-типе (*2'*-эндо) конформации углеводных циклов дезоксирибозы. Так, согласно соотношению (3) из работы [21], доля фракции *S*-типа (*pS*) в нашем случае составляет около 80% и более, ибо сумма констант $J_{1'-2'a}$ и $J_{1'-2'b}$ изменяется в пределах от 14.4 до 15.5 Гц:

$$pS = 100\%(J_{1'-2'a} + J_{1'-2'b} - 9.8)/5.9. \quad (3)$$

Таким образом, следуя полученным результатам для правозакрученной формы тетрануклеотида и *2'*-эндо-конформации дезоксирибозы, можно пред-

полагать, что тетрануклеотид в соединениях (I) и (II) при комнатной температуре имеет конформацию, подобную *B*-форме ДНК.

Взаимодействие протонов эстрона с протонами олигонуклеотида и определение межпротонных расстояний. Анализ спектра NOESY соединения (I) показал, что наиболее сильные кросс-пики наблюдаются между ароматическим протоном $\text{H4}(\text{EsS})$ и протонами дезоксирибозы $\text{H1}'$, $\text{H2}'\text{b}$ соседнего нуклеотида C^4 (рис. 3). В то же время для соединения (II) отмечаются достаточно слабые взаимодействия для протонов $\text{H2}/\text{H4}(\text{EsS})$ с $\text{H5}'\text{a}/\text{H5}'\text{b}(\text{C}^1)$, $\text{H4}(\text{EsS})$ с $\text{H6}(\text{C}^1)/\text{H2}'\text{a}(\text{C}^1)$, соответствующие расстояниям более 3.5 Å согласно уравнению (4). Наряду со слабым уширением сигналов в спектре ^1H -ЯМР при понижении температуры до 25°C это свидетельствует о значительной подвижности эстрона в соединении (II), затрудняющей однозначное построение конформации этой макромолекулы. Поэтому пространственная структура моделировалась только для соединения (I).

Таблица 2. Химические сдвиги сигналов ¹³С эстрона в соединении (III) и ¹Н в соединениях (I) - (III) при 25°C (м. д.)

Атом	(III)		(I)	(II)	Атом	(III)		(I)	(II)
	¹³ С	¹ Н	¹ Н	¹ Н		¹³ С	¹ Н	¹ Н	¹ Н
1	127.5	7.24	6.95	6.86	11α	26.2	2.31	2.02	2.02
2	118.4	6.99	6.78	6.71	11β		1.34	1.11	1.13
3	150.5	-	-	-	12α	31.8	1.37	1.10	1.10
4	121.1	6.96	6.74	6.58	12β		1.79	1.52	1.62
5	139.6	-	-	-	13	49.4	-	-	-
6α	29.7	2.85	2.72	2.47	14	50.6	1.42	1.15	1.16
6β		2.79	2.63	2.39	15α	22.0	1.99	1.80	1.83
7α	26.7	1.29	1.16	1.05	15β		1.58	1.26	1.44
7β		1.92	1.77	1.66	16α	36.8	2.18	1.99	2.04
8	38.5	1.45	1.15	1.15	16β		2.52	2.38	2.44
9	44.2	2.10	1.77	1.73	17	229.6	-	-	-
10	136.9	-	-	-	18	14.2	0.82	0.52	0.72

Таблица 3. Константы спин-спинового взаимодействия (Гц) ¹Н-¹Н и ³¹Р-¹Н в дезоксирибозе соединений (I) - (III)*

Соединение	Нуклеотид	³ J _{Н-Н}					³ J _{НЗ-Р}
		1'-2'a	1'-2'b	2'a-3'	2'b-3'	3'-4'	
(I)	C ¹	9.7	5.5	5.5	1.0	3.0	6.0
	A ²	н. о.	н. о.	н. о.	н. о.	н. о.	5.0**
	G ³	9.8	5.5	5.5	1.5	3.5	6.0
	C ⁴	9.2	5.9	7.0	1.5	2.5	7.0
(II)	C ¹	8.9	5.5	5.0	1.5	3.5	6.5
	A ²	9.8	5.3	5.5	1.0	2.5	5.0
	G ³	9.3	5.5	5.5	1.5	3.0	6.0
	C ⁴	8.8	5.9	6.5	4.0	3.0	-
(III)	C	8.8	5.6	6.1	2.0	2.0	7.0

* ²J_{2'a-2'b} равны 14.0 Гц.

** Протонные константы в нуклеотиде A² соединения (I) не определены из-за совпадения химических сдвигов H2'a и H2'b, однако сумма констант (J_{1'-2'a} + J_{1'-2'b}) = 15.5 Гц; константа ³J_{НЗ-Р} измерена в спектре ³¹Р-ЯМР.

Согласно соотношению (1), величина скорости кросс-релаксации для сближенных в пространстве протонов молекулы пропорциональна величине r_{ij}⁻⁶, что позволяет определять межпротонные расстояния при прочих равных условиях с помощью соотношения (4) [1, 15 - 18]:

$$r_{ij}/r_{kl} = (\sigma_{kl}/\sigma_{ij})^{1/6}, \quad (4)$$

используя известные расстояния r_{kl} между базисной парой протонов k и l и измеряя экспериментальные величины скоростей σ из серии одномерных ¹Н-ЯМР NOE-экспериментов [11 - 13, 22]. В качестве таких известных величин r_{kl} нами использованы расстояния между H5 и H6 в цитидинах и между H1 и H2 в ароматическом кольце эс-

трона, которые приблизительно принимались равными 2.5 Å. Очевидно, что соотношения типа (4) выполнимы лишь в случае сравнимых по величине времен корреляции τ_c для различных частей молекулы.

Для выяснения данного вопроса нами были определены значения τ_c для базисных пар протонов согласно уравнению (1). Они оказались равны 0.8 и 1.2 нс для пары H5-H6 в остатках C¹ и C⁴ соответственно, 1.6 нс для H1-H2 в эстроне соединения (I), а также 0.7 - 0.9 нс для перечисленных пар в соединении (II). Сопоставление времен корреляции в рамках одной макромолекулы свидетельствует о большей подвижности в соединении (I) основания C¹, нежели C⁴, что, видимо, отражается в различной степени уширения их протонных

Таблица 4. Расстояния между протонами (r_{ij} , Å) в соединении (I)

H_i-H_j	r_{ij}	
	Эксперимент	Расчет (S(EsS)3)
H6-H1' (C ¹)	3.5	3.7
H6-H2'a (C ¹)	2.5	2.5
H1'-H2'b (C ¹)	2.4	2.4
H8-H1' (A ²)	3.7	3.9
H8-H2'a (A ²)	2.4	2.5
H1'-H2'b (A ²)	2.4	2.3
H8-H1' (G ³)	3.6	3.8
H8-H2'a (G ³)	2.4	2.5
H1'-H2'b (G ³)	2.4	2.4
H6-H1' (C ⁴)	3.5	3.7
H6-H2'a (C ⁴)	2.4	2.3
H1'-H2'b (C ⁴)	2.4	2.4
H8(A ²)-H2'b (C ¹)	3.6	3.4
H8(G ³)-H2'b (A ²)	3.2	3.1
H6(C ⁴)-H2'a (G ³)	3.4	3.4
H6(C ⁴)-H2'b (G ³)	3.0	2.9
H4(EsS)-H1' (C ⁴)	3.1	3.1
H4(EsS)-H2'b (C ⁴)	3.3	3.2

Таблица 5. Величины торсионных углов ϵ (град) в соединении (I)

Остаток	ϵ	
	Эксперимент	Расчет (S(EsS)3)
C ¹	200	192
A ²	195	186
G ³	200	189
C ⁴	207	221

Таблица 6. Относительная энергия и другие параметры для оптимальных конформаций соединения (I)

Параметр	Конформация			
	S(EsS)1	S(EsS)2	S(EsS)3	S(EsS)4
Энергия,* ккал/моль	29	14	0	-5
ϵ (C ⁴) _{эксп} , град	0	120	207	272
ϵ (C ⁴) _{расч} , град	-6	150	221	278
$r_{H6\beta(EsS)-H1'}$ (C ⁴), Å	2.6	4.0	3.9	2.3

* Рассчитана относительно энергии структуры S(EsS)3; приведенные значения не включают энергию геометрического штрафа.

сигналов H6 при комнатной температуре (рис. 1). Кроме того, полностью подтверждается вывод о меньшей подвижности стероида в соединении (I), нежели в соединении (II). Также сопоставление величин τ_c с ранее известными величинами для цитидинов в составе дуплексов [12] указывает на их 2-4-кратное уменьшение в случае свободного олигонуклеотида.

Для расчета межпротонных расстояний в соединении (I) в качестве базисных пар протонов с фиксированным расстоянием использовали: H5-H6 (C¹) для внутринуклеотидных расстояний в остатке C¹, H5-H6 (C⁴) для остальных внутри- и межнуклеотидных расстояний в тетра- и тринуклеотиде и H1-H2 (EsS) для расстояний между протонами эстроны и концевого цитидина C⁴. Полученные расстояния (табл. 4), соответствующие наиболее сильным взаимодействиям (во избежание эффектов спиновой диффузии), дополнительно подтверждают наличие конформации олигонуклеотида, подобной B-форме [16], в то время как расстояния между протонами H4(EsS)-H1'(C⁴) и H4(EsS)-H2'b(C⁴) близки к величине 3 Å.

Пространственную структуру соединения (I) в растворе получили с помощью молекулярного моделирования методом ограниченной молекулярной механики AMBER [23], используя найденный набор межпротонных расстояний и ограничения на торсионные углы ϵ между (C4'-C3'-O-P), определенные по величине констант $^3J_{H3-P}$ (табл. 3) с помощью соотношений из работ [15, 24] (табл. 5). Для всех нуклеотидов, кроме C⁴, выбран B₁-тип конформации фосфатной группы ($\epsilon = 195^\circ - 200^\circ$), а для угла ϵ в остатке C⁴ в качестве возможных выбраны четыре средние величины: $0^\circ, 120^\circ, 207^\circ$ и 272° .

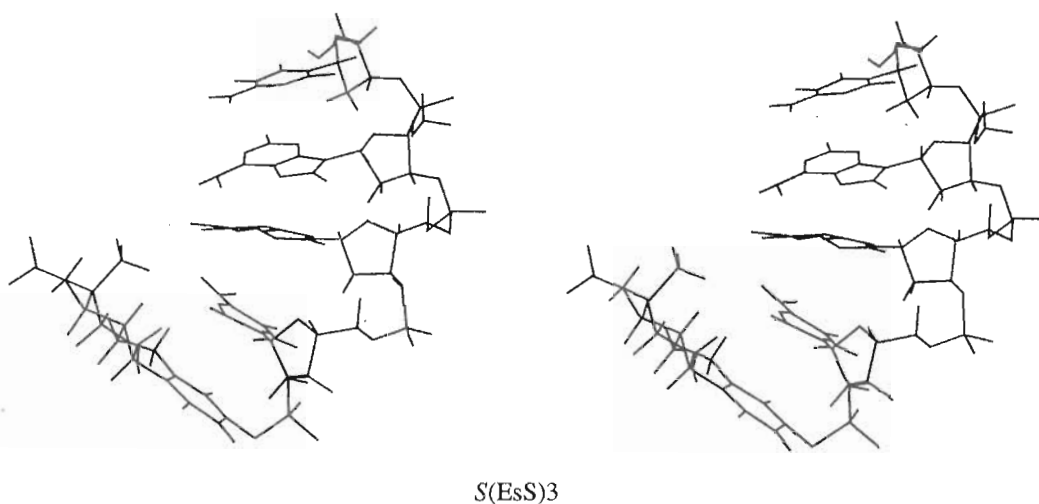
Оптимизацию проводили по функционалу, который является суммой полной энергии и штрафа за отклонение расчетных значений расстояний и углов от измеренных экспериментально. Энергию штрафа учитывали с помощью уравнений (5) и (6):

$$E_r = C_r(r_{ij} - r_{ij}^0)^2, \quad (5)$$

$$E_\epsilon = C_\epsilon(1 - \cos(\epsilon - \epsilon^0)), \quad (6)$$

где значения коэффициентов C_r выбраны 29, 13 и 7.5 ккал/(моль Å²) для измеренных r_{ij}^0 в диапазоне менее 2.6, 2.6-3.4 и более 3.4 Å соответственно (согласно [22]), а C_ϵ взято равным 30 ккал/моль. В качестве начальной структуры олигонуклеотида выбрана B-форма ДНК с 2'-эндо-конформацией дезоксирибозы.

Из полученных в результате расчета четырех возможных структур (табл. 6) конформации S(EsS)1 и S(EsS)2 энергетически невыгодны,



S(EsS)3

Рис. 5. Стереопара конформации S(EsS)3 соединения (I), полученной в результате оптимизации структуры методом молекулярной механики с учетом ограничений из данных ЯМР.

причем отклонение угла ϵ (C^4) в структуре S(EsS)2 от начального достигает 30° , что противоречит экспериментальной величине константы $^3J_{H\beta-p}$ (табл. 3). Структуры S(EsS)3 и S(EsS)4 лежат в пределах возможных отклонений для расчетов энергии (± 5 ккал/моль). Однако в структуре S(EsS)4 имеется малое расстояние (2.3 Å) между $H\beta(EsS)$ и $H1'(C^4)$, которое, по данным эксперимента, не может быть менее 3.7 Å. Таким образом, единственной наиболее вероятной конформацией соединения (I), обладающей низкой энергией и правильно описывающей все экспериментальные результаты, является структура S(EsS)3.

В структуре S(EsS)3 (рис. 5; табл. 4, 5) стероидный остаток ориентирован по направлению к олигонуклеотидной цепи, что, вероятно, способствует их взаимодействию. Очевидно, что построенная конформация является усредненной. Отметим также, что расстояние между протонами метильной группы эстрогена и ближайшими протонами NH_2 -группы (G^3) в структуре S(EsS)3 составляет 6.5 Å. При этом нет существенных энергетических ограничений для уменьшения этого расстояния до 3 - 4 Å.

Полученные для соединения (I) результаты свидетельствуют о взаимодействии стероидного остатка эстрогена с олигонуклеотидной цепью. Одна из возможных причин этого взаимодействия – гидрофобные свойства эстрогена, стремящегося к меньшему сольватационному окружению. В случае соединения (II) гидрофобных свойств стероида недостаточно для образования существенного контакта с тетра-нуклеотидом, например, из-за менее благоприятной геометрии макромолекулы или большей гибкости и длины цепочки, соединяющей стероид с циклом дезоксирибозы. Увеличе-

ние гидрофобности стероида должно приводить, вероятно, к более сильным контактам с олигонуклеотидной цепью.

Действительно, замена в соединении (I) эстронового остатка на холестерин приводит к уширению всех сигналов в спектре 1H -ЯМР при комнатной температуре и образованию сразу нескольких усредненных конформаций макромолекулы в растворе (данные будут опубликованы). При этом также наблюдается взаимодействие протонов холестерина с протоном $H2$ основания A^2 , что прямо свидетельствует о взаимодействии стероида с удаленными нуклеотидными звеньями.

Полученные данные по влиянию остатков стероидов, введенных по 3'-концевой фосфатной группе олигонуклеотида, на структуру макромолекулы способствуют лучшему пониманию свойств алкилирующих производных этого тетра-нуклеотида [10]. Так, при изучении модификации 20-звенного олигодезокси-нуклеотида 5'-алкилирующими производными $pd(CAGC)_p$ и его 3'-эстронового или 3'-холестеринового эфиров в присутствии эффекторов (дифеназиновых производных олигонуклеотидов) обнаружено [10], что введение в реагент на основе тетра-нуклеотида остатка эстрогена понижает его способность модифицировать мишень с 44 до 20%, а введение холестерина – до 6%. Такое падение активности, вероятно, связано с формированием «клубкообразной» структуры данных макромолекул, вызванным наличием остатка стероида, что может влиять на процесс взаимодействия реагента с мишенью. Таким образом, результаты настоящей работы дают полезную информацию, которую необходимо учитывать при конструировании ген-направленных реагентов на основе стероидсодержащих олигонуклеотидов.

ЭКСПЕРИМЕНТАЛЬНАЯ ЧАСТЬ

Синтез олигонуклеотидных производных (I) и (II), а также соединения (III) аналогичен представленному в работе [10]. Образцы для записи спектров ЯМР приготавливали по методике, описанной ранее [11]. Концентрация соединений (I) и (II) в D₂O (99.96%) – около 25 мМ, (III) – 40 мМ, буферный раствор содержал 0.1 М NaCl, 10 мМ NaD₂PO₄, 10 мкМ натриевую соль EDTA (рН 7.0).

Спектры ЯМР получены на спектрометре AM-400 (Bruker, ФРГ) с рабочей частотой 400.13 МГц для протонов. Все спектры, за исключением исследования зависимостей спектров ЯМР от температуры, получены при 25°C. Используются стандартные программы накопления фазочувствительных спектров NOESY ($\tau_m = 0.2$ и 0.4 с), COSY-DQF, а также двумерных ¹³C,¹H-корреляционных спектров (настройка на величину $^1J_{C-H} = 125$ Гц). Фазочувствительные спектры ROESY получены с помощью методики [25] ($\tau_m = 0.2$ с, $\gamma B_1/2\pi = 2$ кГц; 8000 импульсов $\beta = 18^\circ$ длительностью 2 мкс с задержкой между ними $\tau = 23$ мкс). Ширина протонных спектров 4000 Гц, размер матрицы данных для накопления в NOESY-, ROESY- и COSY-экспериментах – 512 × 2К, в ¹³C,¹H-корреляционных экспериментах – 128 × 8К для направлений t_1 и t_2 соответственно, задержка на релаксацию между накоплениями – 2.5 с, количество накоплений – 128 в протонных и 640 в гетероядерных экспериментах. В ходе двумерного фурье-преобразования для NOESY- и ROESY-спектров использовали фильтрацию с помощью квадратичной функции косинуса в обоих направлениях, коррекцию базовой линии и последующую симметризацию спектров относительно диагонали. Размер двумерных спектров после фурье-преобразования составлял 2К × 2К для NOESY и ROESY, 1К × 8К для COSY- и ¹³C,¹H-корреляционных спектров по направлениям f_1 и f_2 соответственно.

Химические сдвиги протонов измерены относительно сигнала внутреннего стандарта 3 мМ 4,4-диметил-4-силапентансульфоната натрия (DSS; $\delta_H = 0.015$ м. д.), ¹³C – относительно сигнала внешнего стандарта диоксана ($\delta_C = 67.4$ м. д., при этом сигнал стандарта DSS наблюдается при -1.8 м. д.), ³¹P – в слабом поле относительно внешнего стандарта 85% H₃PO₄. Точность определения химических сдвигов ¹H и ³¹P – 0.01, ¹³C – 0.1 м. д., констант J_{C-H} и $J_{H-P} - 1.0$ Гц, за исключением $J_{C-2a,b} - 0.5$ Гц.

Для определения величины NOE в одномерных ¹H-ЯМР-экспериментах проводили селективное облучение низкой мощностью на частоте выбранного резонанса и вне резонанса. Время облучения равнялось 0.2 с, задержка между импульсами – 5 с. Разностный спектр получали, вычитая

из спектра, полученного с насыщением тестируемого сигнала, спектр без насыщения. Практически линейный участок зависимости NOE от времени облучения до 0.2 с соответствует приближению начальной скорости, что проверяли построением полной кривой NOE в диапазоне 0.1 - 1.0 с.

Расчет пространственной структуры проводили по программе ограниченной молекулярной механики AMBER [23] версии 4.0, предоставленной профессором Р.А. Kollman и адаптированной для персонального компьютера в нашем институте. Атомные заряды для фосфатного производного эстрона рассчитаны квантово-химическим методом AM1 [26] с использованием методологии работы [27].

Работа осуществлена при финансовой поддержке Российского фонда фундаментальных исследований.

СПИСОК ЛИТЕРАТУРЫ

1. Knorre D.G., Vlassov V.V., Zarytova V.F., Lebedev A.V., Fedorova O.S. Desing and Targeted Reactions of Oligonucleotide Derivatives. Boca Raton: CRC Press, 1994.
2. Буторин А.С., Власов В.В., Гуськова Л.В., Зарытова В.Ф., Иванова Е.М., Кобец Н.Д., Райт А.С., Юрченко Л.В. // Молекуляр. биология. 1989. Т. 23. С. 1382 - 1390.
3. Letsinger R.L., Zhang G., Sun D.K., Ikeuchi T., Sarin P.S. // Proc. Natl. Acad. Sci. USA. 1989. V. 86. P. 6553 - 6556.
4. Abramova T.V., Blinov V.M., Vlassov V.V., Gorn V.V., Zarytova V.F., Ivanova E.M., Konevets D.A., Plyasunova O.A., Pokrovsky A.G., Sandakhchiev L.S. // Nucleosides and Nucleotides. 1991. V. 10. P. 419 - 422.
5. Зарытова В.Ф., Иванова Е.М., Часовских М.Н. // Биооргани. химия. 1990. Т. 16. С. 610 - 616.
6. Ivanova E.M., Amirkhanov N.V., Zarytova V.F. // Coll. Czech. Chem. Commun. 1990. V. 55. P. 217 - 220.
7. Letsinger R.L., Chaturvadi S.K., Farooquri F., Salunkhe M. // J. Am. Chem. Soc. 1993. V. 115. P. 7535 - 7536.
8. Gryaznov S.M., Lloid D.H. // Nucl. Acids Res. 1993. V. 21. P. 5909 - 5915.
9. Pyshnyi D.V., Pyshnaya I.A., Lokhov S.G., Ivanova E.M., Zarytova V.F. // Nucl. Acids Sympos. Ser. 1994. V. 31. P. 115 - 116.
10. Пышный Д.В., Пышная И.А., Лохов С.Г., Иванова Е.М., Зарытова В.Ф. // Биооргани. химия. 1995. Т. 21. С. 709 - 716.
11. Биченкова Е.В., Воробьев Ю.Н., Кутявин И.В., Лебедев А.В., Мальцева Т.В., Тэннэ Е.Ю. // Биооргани. химия. 1990. Т. 16. С. 1236 - 1258.
12. Bichenkova E.V., Gorenstein L.A., Denisov A.Yu., Lebedev A.V., Illangasekare N., Gorenstein D.G. // Appl. Magn. Reson. 1994. V. 7. P. 55 - 70.
13. Maltseva T., Sandstrom A., Ivanova E.M., Sergeyev D.S., Zarytova V.F., Chattopadhyaya J. // J. Biochem. Biophys. Methods. 1993. V. 26. P. 173 - 236.

14. Maltseva T.V., Agback P., Repkova M.N., Venyaminova A.G., Ivanova E.M., Sandstrom A., Zarytova V.F., Chattopadhyaya J. // Nucl. Acids Res. 1994. V. 22. P. 5590 - 5599.
15. Hosur R.V., Govil G., Miles H.T. // Magn. Reson. Chem. 1988. V. 26. P. 927 - 944.
16. Wuthrich K. NMR of Proteins and Nucleic Acids. N.Y.: John Wiley, 1986.
17. Neuhaus D., Williamson M.P. Nuclear Overhauser Effect in Structural and Conformational Analysis. N.Y.: VCH, 1989.
18. Gronenborn A.M., Clore G.M. // Prog. Nucl. Magn. Reson. Spectrosc. 1985. V. 17. P. 1 - 33.
19. Kalinowski H.O., Berger S., Braun S. Carbon-13 NMR Spectroscopy. Chichester: John Wiley, 1988.
20. Kessler H., Gehrke M., Griesinger C. // Angew. Chem. Int. Ed. Engl. 1988. V. 27. P. 490 - 536.
21. Rinkel L.J., Altona C. // J. Biomolec. Struct. Dyn. 1987. V. 4. P. 621 - 649.
22. Nigles M., Clore G.M., Gronenborn A.M., Piel N., McLaughlin L.W. // Biochemistry. 1987. V. 26. P. 3734 - 3744.
23. Weiner S.J., Kollman P.A., Case D.A., Singh U.C., Ghio C., Alagona G., Profeta S., Weiner P. // J. Am. Chem. Soc. 1984. V. 106. P. 765 - 784.
24. Kim S.G., Lin L.J., Reid B.R. // Biochemistry. 1992. V. 31. P. 3564 - 3574.
25. Kessler H., Griesinger C., Kerssebaum R., Wagner K., Ernst R.R. // J. Am. Chem. Soc. 1987. V. 109. P. 607 - 609.
26. Dewar M.J.S., Zebisch E.G., Healy E.F., Stewart J.J.P. // J. Am. Chem. Soc. 1985. V. 107. P. 3902 - 3909.
27. Vasilyev V.V., Bliznyuk A.A., Voityuk A.A. // Int. J. Quant. Chem. 1992. V. 44. P. 897 - 930.

Spatial Structures of 3'- and 5'-Estrone Esters of Tetranucleotide Refined by Two-Dimensional NMR Spectroscopy and Restrained Molecular Modeling

A. Yu. Denisov, D. V. Pyshnyi, I. A. Pyshnaya, V. V. Vasil'ev,
E. M. Ivanova, and V. F. Zarytova¹

*Novosibirsk Institute of Bioorganic Chemistry, Siberian Division, Russian Academy of Sciences,
pr. akademika Lavrent'eva 8, Novosibirsk, 630090 Russia*

Abstract—The spatial structure of a tetranucleotide with an estrone residue covalently linked to the 3'-terminal phosphate [pd(CAGC)p-EsS] or 5'-terminal phosphate [EsS-pd(CAGC)] was studied by one- and two-dimensional ¹H, ¹³C, and ³¹P NMR spectroscopy. The proton resonances were assigned by using NOESY, ROESY, COSY, and ¹³C, ¹H-correlation spectra. The proton resonances in the ¹H NMR spectrum at room temperature for the 3'-estrone derivative of the tetranucleotide were significantly broadened compared with its mononucleotide analog pdCp-EsS. A probable structure of this molecule that best fit the experimental set of interproton distances and torsion angles was simulated using the restrained molecular mechanics. The results suggest a considerable interaction between the 3'-estrone residue and the oligonucleotide chain.

Key words: oligonucleotides, steroids, estrone, two-dimensional NMR, molecular modeling.

¹ To whom correspondence should be addressed.